

О КОНТАКТНЫХ НАПРЯЖЕНИЯХ НА КОНТУРЕ СТЕНКИ

В. В. Соколовский

(Москва)

В предлагаемой работе исследовано плоское предельное равновесие связной среды, ограниченной криволинейной стенкой, которое сопровождается некоторой кривой разрыва. Контактные напряжения определены численно, а во многих случаях даны в простой замкнутой форме.

§ 1. Стенка в связной среде. Рассмотрим сначала связную среду, которая наряду со сцеплением имеет внутреннее трение, и определим давление такой среды на криволинейную стенку.

Плоское предельное равновесие связной среды с объемным весом γ , коэффициентом сцепления k и углом внутреннего трения ρ описывается дифференциальными уравнениями равновесия (ось y направлена вниз)

$$\frac{\partial \sigma_x}{\partial x} + \frac{\partial \tau_{xy}}{\partial y} = 0, \quad \frac{\partial \tau_{xy}}{\partial x} + \frac{\partial \sigma_y}{\partial y} = \gamma \quad (1.1)$$

и условием предельного состояния

$$\frac{1}{4} (\sigma_x - \sigma_y)^2 + \tau_{xy}^2 = \frac{\sin^2 \rho}{4} (\sigma_x + \sigma_y + 2H)^2, \quad H = k \operatorname{ctg} \rho \quad (1.2)$$

причем для компонент напряжения, принято правило знаков, обычное в статике сыпучей среды [1].

Эту систему уравнений удобно преобразовать путем перехода от компонент напряжения σ_x , σ_y и τ_{xy} к новым переменным σ и φ по формулам

$$\left. \begin{array}{l} \sigma_x \\ \sigma_y \end{array} \right\} = \sigma (1 \pm \sin \rho \cos 2\varphi) - H, \quad \tau_{xy} = \sigma \sin \rho \sin 2\varphi \quad (1.3)$$

в которых φ есть угол между наибольшим главным нормальным напряжением и осью x . Внося в дифференциальные уравнения равновесия (1.1) выражения (1.3), найдем

$$(1 + \sin \rho \cos 2\varphi) \frac{\partial \sigma}{\partial x} + \sin \rho \sin 2\varphi \frac{\partial \sigma}{\partial y} - 2\sigma \sin \rho \left[\sin 2\varphi \frac{\partial \varphi}{\partial x} - \cos 2\varphi \frac{\partial \varphi}{\partial y} \right] = 0$$
$$\sin \rho \sin 2\varphi \frac{\partial \sigma}{\partial x} + (1 - \sin \rho \cos 2\varphi) \frac{\partial \sigma}{\partial y} + 2\sigma \sin \rho \left[\cos 2\varphi \frac{\partial \varphi}{\partial x} + \sin 2\varphi \frac{\partial \varphi}{\partial y} \right] = \gamma$$

Полученная основная система уравнений принадлежит к гиперболическому типу и имеет два вещественных семейства характеристик, которые определяются известными дифференциальными уравнениями:

$$dy = dx \operatorname{tg}(\varphi \mp \mu), \quad d\sigma \mp 2\sigma \operatorname{tg} \rho d\varphi = \gamma (dy \mp \operatorname{tg} \rho dx) \quad (1.4)$$

Характеристики на плоскости x и y образуют два изогональных семейства линий, пересекающихся под углами $2\mu = \pi/2 - \rho$. Они наклонены к оси x под углами $\varphi \mp \mu$ и совпадают с линиями скольжения.

Займемся определением контактных напряжений на контуре стенки, предполагая, что вдоль горизонтальной границы задано равномерно распределенное нормальное давление $\sigma_y = p$ (фиг. 1).

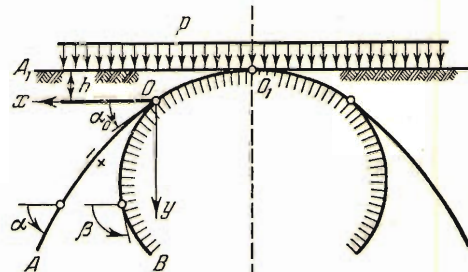
При этом необходимо отдельно рассматривать области A_1O_1Ox , xOA и AOB . Области xOA и AOB разделены кривой разрыва OA , на которой хотя и сохраняется равновесие, но нет полной непрерывности напряжений.

В областях A_1O_1Ox и xOA возникают простейшие поля напряжений, определяемые величинами

$$\begin{aligned}\sigma &= \sigma(y) = \frac{\gamma y + q + H}{1 + \sin \varphi} \\ \varphi &= \frac{\pi}{2} \quad (q = p + \gamma h)\end{aligned}\quad (1.5)$$

или компонентами напряжения

$$\begin{aligned}\sigma_x + H &= (\gamma y + q + H) \frac{1 - \sin \varphi}{1 + \sin \varphi} \\ \sigma_y &= \gamma y + q, \quad \tau_{xy} = 0\end{aligned}$$



Фиг. 1

и сеткой характеристик в виде двух семейств параллельных прямых:

$$y = \pm x \operatorname{ctg} \mu + \text{const}$$

Остановимся теперь на граничных условиях вдоль кривых OA и OB , обозначая через t касательную, а через n нормаль к рассматриваемой кривой. Компоненты напряжения σ_t , σ_n и τ_{tn} могут быть выражены через новые переменные σ и ψ по формулам

$$\left. \begin{aligned} \sigma_t \\ \sigma_n \end{aligned} \right\} = \sigma (1 \pm \sin \rho \cos 2\psi) - H, \quad \tau_{tn} = \sigma \sin \rho \sin 2\psi \quad (1.6)$$

в которых ψ есть угол между наибольшим главным нормальным направлением и осью t . Из сопоставления (1.3) и (1.6) ясно, что $\varphi - \psi$ представляет собой угол между осями x и t .

Условимся через α и β обозначать углы между осью x и касательными к кривым OA и OB , а через α_0 и β_0 — их значения в точке O .

Прежде всего заметим, что вдоль некоторой дуги O_1O контура стенки на основании (1.5) и (1.6) при $\psi = \pi/2 - \beta$ имеют место

$$\sigma_n = \sigma(y) (1 + \sin \rho \cos 2\beta) - H, \quad \tau_{tn} = \sigma(y) \sin \rho \sin 2\beta$$

Будем иметь в виду, что вдоль кривой OA компоненты напряжения σ_n и τ_{tn} должны быть непрерывны, а компонента σ_t разрывна. Следовательно, из (1.5) и (1.6) при $\psi = \varphi - \alpha$ получим

$$\begin{aligned}\sigma [1 - \sin \rho \cos 2(\varphi - \alpha)] &= \sigma(y) (1 + \sin \rho \cos 2\alpha) \\ \sigma \sin 2(\varphi - \alpha) &= \sigma(y) \sin 2\alpha\end{aligned}$$

Отсюда после простых преобразований можно найти

$$\sin(2\alpha - \varphi) = \sin \rho \sin \varphi, \quad 0 \leqslant 2\alpha - \varphi \leqslant \frac{\pi}{2}$$

и, кроме того,

$$\frac{dy}{dx} = \operatorname{tg} \alpha, \quad \sigma = \sigma(y) \frac{\sin 2\alpha}{\sin 2(\varphi - \alpha)} \quad (1.7)$$

Отметим, что точно такие же условия вдоль кривой разрыва уже применялись ранее [1] при определении формулы устойчивого полусвода.

Будем считать, что вдоль кривой OB , которая является контуром стенки, между компонентами напряжения σ_n и τ_{tn} имеет место соотношение

$$\tau_{tn} = (\sigma_n + H) \operatorname{tg} \delta, \quad \delta \leq \rho$$

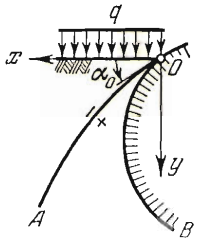
Поэтому вследствие (1.6) при $\psi = \varphi - \beta$ должно быть

$$\sin \rho \sin 2(\varphi - \beta) = [1 - \sin \rho \cos 2(\varphi - \beta)] \operatorname{tg} \delta$$

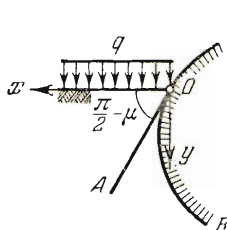
Отсюда

$$\sin [2(\varphi - \beta) + \delta] = \frac{\sin \delta}{\sin \rho}, \quad 0 \leq 2(\varphi - \beta) + \delta \leq \frac{\pi}{2} \quad (1.8)$$

Отметим наиболее интересные частные случаи контурного условия;



Фиг. 2



Фиг. 3

$$\delta = 0, \quad \delta = \rho$$

когда, соответственно

$$\varphi = \beta, \quad \varphi = \beta + \mu$$

Точка O контура стенки должна быть выбрана так, чтобы компоненты σ_n и τ_{tn} были непрерывны; кривая разрыва OA и контур OB имеют общую касательную, наклоненную к оси x под углом $\alpha_0 = \beta_0$, причем

$$\sin (2\alpha_0 - \delta) = \frac{\sin \delta}{\sin \rho}, \quad 0 \leq 2\alpha_0 - \delta \leq \frac{\pi}{2} \quad (1.9)$$

В области AOB поле напряжений уже не будет простейшим и должно быть найдено путем численного решения уравнений характеристики (1.4) по граничным условиям (1.7) и (1.8) вдоль кривых OA и OB (фиг. 2).

Значение $\sigma = \sigma_0$ в точке O может быть выражено через q . Действительно, на основании (1.7) при $y = 0$ найдем

$$\sigma_0 = \frac{q + H}{1 + \sin \rho} \frac{\sin 2\alpha_0}{\sin 2(\alpha_0 - \delta)} \quad (1.10)$$

Особенно интересен частный случай $\delta = \rho$, когда

$$\alpha_0 = \beta_0 = \frac{\pi}{2} - \mu, \quad \sigma_l^+ = \sigma_l^-$$

а кривая разрыва OA переходит в прямую характеристику OA (фиг. 3).

§ 2. Некоторые приближенные решения. Рассмотрим узкий слой вдоль выпуклого контура стенки и получим приближенные интегралы основных уравнений предельного равновесия в двух частных случаях: $\delta = 0$ и $\delta = \rho$.

Выберем за ортогональные криволинейные координаты соответственно длину s дуги контура стенки и длину n нормали, отсчитанной от контура (фиг. 4), так что $OM = s$ и $MN = -n$, причем $n < 0$.

Задавая форму контура и радиус кривизны уравнениями

$$x = x(s), \quad y = y(s), \quad R = R(s) = ds/d\beta$$

легко установить зависимости

$$x = x(s) - n \sin \beta, \quad y = y(s) + n \cos \beta$$

а также коэффициент Ламе

$$g = \left[\left(\frac{\partial x}{\partial s} \right)^2 + \left(\frac{\partial y}{\partial s} \right)^2 \right]^{1/2} = 1 - \frac{n}{R(s)}$$

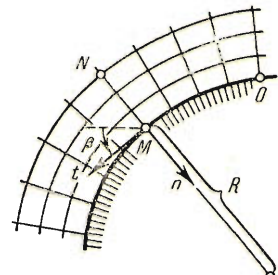
Дифференциальные уравнения равновесия в принятых криволинейных координатах имеют вид:

$$\begin{aligned} \frac{\partial \sigma_t}{\partial s} + g \frac{\partial \tau_{tn}}{\partial n} - \frac{2\tau_{tn}}{R} &= \gamma g \sin \beta \\ \frac{\partial \tau_{tn}}{\partial s} + g \frac{\partial \sigma_n}{\partial n} + \frac{\sigma_t - \sigma_n}{R} &= \gamma g \cos \beta \end{aligned} \quad (2.1)$$

а компоненты напряжения можно выразить через σ и ψ по формулам

$$\left. \begin{aligned} \sigma_t \\ \sigma_n \end{aligned} \right\} = \sigma (1 \pm \sin \rho \cos 2\psi) - H \quad (2.2)$$

$$\tau_{tn} = \sigma \sin \rho \sin 2\psi, \quad \psi = \varphi - \beta$$



Фиг. 4

в которых ψ — угол наклона наибольшего главного нормального напряжения к оси t . Таким образом, основная система теперь будет иметь такой вид:

$$\begin{aligned} (1 + \sin \rho \cos 2\psi) \frac{\partial \sigma}{\partial s} + \sin \rho \sin 2\psi g \frac{\partial \sigma}{\partial n} - \\ - 2\sigma \sin \rho \left[\sin 2\psi \frac{\partial \varphi}{\partial s} - \cos 2\psi g \frac{\partial \varphi}{\partial n} \right] = \gamma g \sin \beta \end{aligned} \quad (2.3)$$

$$\sin \rho \sin 2\psi \frac{\partial \sigma}{\partial s} + (1 - \sin \rho \cos 2\psi) g \frac{\partial \sigma}{\partial n} + 2\sigma \sin \rho \left[\cos 2\psi \frac{\partial \varphi}{\partial s} + \sin 2\psi g \frac{\partial \varphi}{\partial n} \right] = \gamma g \cos \beta$$

или в результате простых преобразований

$$\begin{aligned} \left[\frac{\partial \sigma}{\partial s} \mp 2\sigma \operatorname{tg} \rho \frac{\partial \varphi}{\partial s} \right] + \operatorname{tg}(\psi \mp \mu) g \left[\frac{\partial \sigma}{\partial n} \mp 2\sigma \operatorname{tg} \rho \frac{\partial \varphi}{\partial n} - \gamma \frac{\cos(\beta \mp \rho)}{\cos \rho} \right] = \\ = \gamma g \frac{\sin(\beta \mp \rho)}{\cos \rho} \end{aligned} \quad (2.4)$$

Покажем сначала, как построить приближенное решение вблизи контура стенки в частном случае $\delta = 0$, когда на самом контуре $\sigma = \sigma(s)$ и $\psi = 0$. С этой целью положим

$$\sigma = \sigma(s) + S, \quad \psi = \Psi, \quad g = 1 - n/R$$

и будем считать, что S , Ψ и n малы. Тогда на основании (2.2) приближенно

$$\left. \begin{aligned} \sigma_t \\ \sigma_n \end{aligned} \right\} = (\sigma(s) + S)(1 \pm \sin \rho) - H, \quad \tau_{tn} = 2\sigma(s) \sin \rho \Psi$$

Внесем σ , ψ и g в уравнение (2.3), а затем оценим порядок различных членов и отбросим те из них, которые малы по сравнению с остальными.

Приближенно получим

$$2\sigma(s) \sin \rho \frac{\partial \Psi}{\partial n} = \gamma \sin \beta - \sigma'(s)(1 + \sin \rho)$$

$$(1 - \sin \rho) \frac{\partial S}{\partial n} = \gamma \cos \beta - \frac{2}{R} \sigma(s) \sin \rho$$

Эти уравнения должны быть проинтегрированы с учетом граничных условий $S = \Psi = 0$ при $n = 0$ в виде

$$2\sigma(s) \sin \rho \Psi = [\gamma \sin \beta - \sigma'(s)(1 + \sin \rho)] n$$

$$(1 - \sin \rho) S = \left[\gamma \cos \beta - \frac{2}{R} \sigma(s) \sin \rho \right] n \quad (2.5)$$

Дифференциальные уравнения характеристик

$$\frac{dy}{dx} = \operatorname{tg}(\varphi \mp \mu) \quad \text{или} \quad \frac{dn}{ds} = g \operatorname{tg}(\psi \mp \mu)$$

после подстановки ψ и g приближенно дают

$$\frac{dn}{ds} = \mp \operatorname{tg} \mu \left(1 - \frac{n}{R} \right) + \frac{\Psi}{\cos^2 \mu} \quad (2.6)$$

Теперь нетрудно получить компоненты напряжения

$$\sigma_n + H = \sigma(s)(1 - \sin \rho) + \left[\gamma \cos \beta - \frac{2}{R} \sigma(s) \sin \rho \right] n$$

$$\tau_{tn} = [\gamma \sin \beta - \sigma'(s)(1 + \sin \rho)] n$$

а вместе с тем и компоненту

$$\sigma_t + H = \frac{1 + \sin \rho}{1 - \sin \rho} (\sigma_n + H)$$

Предыдущие формулы могут быть использованы также, если контур стенки есть прямая, наклоненная под углом β к оси x ; при этом следует считать, что $R \rightarrow \infty$.

Покажем теперь, как найти приближенное решение вблизи контура стенки в другом частном случае $\delta = \rho$, когда на этом контуре $\sigma = \sigma(s)$ и $\psi = \mu$. Положим

$$\sigma = \sigma(s) + S, \quad \psi = \mu - \Psi, \quad g = 1 - n/R$$

и будем опять-таки считать, что S , Ψ и n малы.

Подставим σ , ψ и g в уравнения (2.4), а затем оценим порядок различных членов и отбросим те из них, которые малы по сравнению с остальными. Приближенно найдем

$$\frac{\partial S}{\partial n} - 2\sigma(s) \operatorname{tg} \rho \frac{\partial \Psi}{\partial n} = 0$$

$$\left[\frac{\partial S}{\partial n} + 2\sigma(s) \operatorname{tg} \rho \frac{\partial \Psi}{\partial n} \right] \Psi = \sigma'(s) - \gamma \frac{\sin(\beta - \rho)}{\cos \rho} - \frac{2}{R} \sigma(s) \operatorname{tg} \rho$$

Первое уравнение вместе с граничными условиями $S = \Psi = 0$ при $n = 0$ имеет интеграл

$$S = 2\sigma(s) \operatorname{tg} \rho \Psi \quad (2.7)$$

а второе может быть преобразовано таким образом:

$$\frac{\partial \Psi^2}{\partial n} = \frac{\operatorname{ctg} \rho}{2\sigma(s)} \left(\sigma'(s) - \gamma \frac{\sin(\beta - \rho)}{\cos \rho} \right) - \frac{1}{R}$$

Оно должно быть проинтегрировано с учетом граничного условия $\Psi = 0$ при $n = 0$ в виде

$$\Psi^2 = \left[\frac{\operatorname{ctg} \rho}{2\sigma(s)} \left(\sigma'(s) - \gamma \frac{\sin(\beta - \rho)}{\cos \rho} \right) - \frac{1}{R} \right] n \quad (2.8)$$

Дифференциальные уравнения характеристик

$$\frac{dn}{ds} = g \operatorname{tg}(\psi \mp \mu)$$

после подстановки ψ и g приближенно дают

$$\frac{dn}{ds} = -\Psi, \quad \frac{dn}{ds} = \operatorname{ctg} \rho \left(1 - \frac{n}{R} - \frac{2\Psi}{\sin 2\rho} \right)$$

Полученные интегралы могут быть применены также, если контур стенки есть прямая, наклоненная под углом β к оси x ; при этом нужно считать, что $R \rightarrow \infty$. Интеграл (2.7) принимает следующий вид:

$$S = 2\sigma(s) \operatorname{tg} \rho \Psi$$

а интеграл (2.8) после простых преобразований напишется так:

$$\Psi^2 = \frac{\operatorname{ctg} \rho}{2\sigma(s)} \left[\sigma'(s) - \gamma \frac{\sin(\beta - \rho)}{\cos \rho} \right] n$$

Последнее выражение несколько упрощается при отсутствии собственного веса, когда $\gamma = 0$, а угол β выпадает из рассмотрения.

Остановимся на последнем интеграле в частном случае идеально сыпучей среды ($k = 0$), предполагая, что в рассматриваемой задаче отсутствует характерная длина l . Так как при этом величины

$$\sigma'(s) = \sigma'(\bar{ls}), \quad \frac{\sigma(s)}{n} = \frac{\sigma(\bar{ls})}{\bar{ln}}$$

в которых принятые обозначения $s = \bar{ls}$, $n = \bar{ln}$, не должны зависеть от l , то произвольную функцию $\sigma(s)$ можно представить в виде

$$\sigma(s) = \gamma \sigma_0 s$$

так что

$$\Psi^2 = -\frac{\operatorname{ctg} \rho}{2} \left[1 - \frac{\sin(\beta - \rho)}{\sigma_0 \cos \rho} \right] \frac{n}{s}$$

Это соотношение было получено Т. Карманом^[3] как интеграл системы уравнений предельного равновесия для весового клина из идеально сыпучей среды, в которой величины всех компонент напряжения пропорциональны расстояниям от вершины клина.

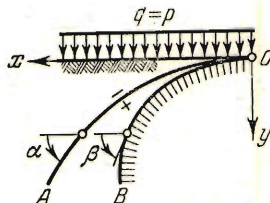
Остановимся подробнее на частном случае $\delta = 0$, когда $\alpha_0 = \beta_0 = 0$ и $q = p$, а контур стенки имеет в точке O горизонтальную касательную, и построим приближенное решение в окрестности этой точки O (фиг. 5).

Уравнения контура стенки могут быть при малых s приближенно выражены в виде

$$x = x(s) = s, \quad y = y(s) = \frac{s^2}{2R_0} \quad \text{или} \quad y = \frac{x^2}{2R_0}$$

а формулы перехода от прямолинейных x и y к криволинейным координатам s и n представлены так:

$$s = x, \quad n = y - \frac{x^2}{2R_0}, \quad R_0 = R(0)$$



Фиг. 5

Искомое приближенное решение около точки O может быть найдено при помощи интегралов (2.5). Имея в виду, что

$$\sigma(0) = \frac{p+H}{1-\sin\varphi}$$

приближенно найдем

$$(1-\sin\varphi)S = \left[\gamma - \frac{2(p+H)\sin\varphi}{R_0(1-\sin\varphi)}\right]n, \quad \Psi = -\frac{\sigma'(0)\cos^2\varphi}{2(p+H)\sin\varphi}n$$

Условия (1.7) вдоль кривой OA могут быть также приближенно написаны следующим образом:

$$\frac{dy}{dx} = \alpha = (1+\sin\varphi)\frac{\beta}{2}, \quad (1-\sin\varphi)\sigma = \gamma y + (p+H)(1-\sin\varphi)\beta^2$$

Внося вместо β его приближенное значение $\beta = x/R_0$, получим

$$\frac{dy}{dx} = (1+\sin\varphi)\frac{x}{2R_0}$$

которое вместе с граничными данными $y=0$ при $x=0$ устанавливает, что кривая OA есть парабола

$$y = (1+\sin\varphi)\frac{x^2}{4R_0} \quad \text{или} \quad n = (1-\sin\varphi)\frac{s^2}{4R_0} \quad (2.9)$$

Приведенные интегралы и условия вдоль кривой OA определяют функцию $\sigma(s)$ следующим образом:

$$(1-\sin\varphi)\sigma(s) = p+H + \left[\gamma - \frac{3}{R_0}(p+H)\sin\varphi\right]\frac{s^2}{2R_0}$$

Теперь легко видеть, что $\sigma'(0)=0$ и с прежней степенью точности

$$(1-\sin\varphi)S = \left[\gamma - \frac{2(p+H)\sin\varphi}{R_0(1-\sin\varphi)}\right]n, \quad \Psi = 0$$

а характеристиками — линиями скольжения — служат

$$n = R_0 + C \exp\left(\pm \operatorname{tg}\mu \frac{s}{R_0}\right)$$

Нетрудно также определить компоненты напряжения σ_n и τ_{ln} в непосредственной близости от стенки:

$$\sigma_n = \gamma y + p - \frac{3}{R_0}(p+H)\sin\varphi \left[\frac{s^2}{2R_0} + \frac{2n}{3(1-\sin\varphi)}\right], \quad \tau_{ln} = 0$$

а также компоненту σ_n на самом контуре:

$$\sigma_n = p + \left[\gamma - \frac{3}{R_0}(p+H)\sin\varphi\right]\frac{s^2}{2R_0} \quad (2.10)$$

Отсюда нетрудно установить, что при фиксированных p и k компонента σ_n возрастает или убывает с увеличением угла внутреннего трения φ в зависимости от того, будет ли $p < k \operatorname{tg}\varphi$ или $p > k \operatorname{tg}\varphi$, а при $p = k = 0$ компонента

$$\sigma_n = \frac{\gamma s^2}{2R_0}$$

всегда не зависит от φ .

Вернемся теперь от криволинейных координат s и n к прямолинейным координатам x и y . Функции σ и φ определяются приближенными формулами

$$\sigma = \frac{\gamma y + p + H}{1-\sin\varphi} - \frac{2(p+H)\sin\varphi}{R_0(1-\sin\varphi)^2} \left[y + (1-3\sin\varphi)\frac{x^2}{4R_0}\right], \quad \varphi = \frac{x}{R_0}$$

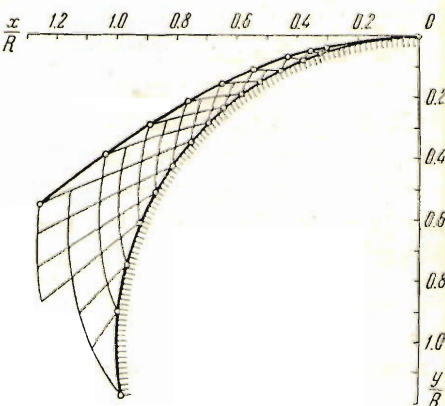
которые, конечно, справедливы только в небольшой окрестности точки O .

Обратим внимание, что все предыдущие рассуждения в полной мере справедливы и для идеально сыпучей среды, т. е. когда $k = H = 0$. Однако упрощение предыдущих формул при этом незначительно.

В качестве примера рассмотрена круговая стенка радиуса R для

$$\rho = \pi/6, \delta = 0 \text{ и } p + H = 5\gamma R$$

Вблизи от точки O применены предыдущие приближенные формулы, а вдали от нее использованы обычные [1] методы численного интегрирования уравнений (1.4). Найдены безразмерные координаты x/R и y/R кривой OA :



Фиг. 6

$$\begin{array}{ccccccccccccc} x/R & = & 0.00 & 0.20 & 0.31 & 0.43 & 0.55 & 0.65 & 0.76 & 0.89 & 1.04 & 1.26 \\ y/R & = & 0.00 & 0.02 & 0.04 & 0.07 & 0.11 & 0.15 & 0.21 & 0.29 & 0.38 & 0.55 \end{array}$$

и значения безразмерной величины

$$N = \frac{\sigma_n + H}{\gamma R}$$

для различных значений безразмерной длины s/R кривой OB :

$s/R = 0.00$	0.21	0.33	0.39	0.48	0.55	0.63	0.70
$N = 5.00$	4.86	4.67	4.55	4.35	4.16	3.97	3.78
$s/R = 0.77$	0.86	0.95	1.06	1.17	1.32	1.47	1.74
$N = 3.59$	3.35	3.12	2.85	2.60	2.29	1.99	1.54

а также построена сетка характеристик — линий скольжения (фиг. 6).

§ 3. Стенка в идеально связной среде. Обратимся теперь к так называемой идеально связной среде, которая обладает сцеплением, но лишена внутреннего трения, и определим давление такой среды на криволинейную стенку.

Плоское предельное равновесие идеально сыпучей среды с объемным весом γ и коэффициентом сцепления k описывается теми же дифференциальными уравнениями равновесия (1.1) и условием предельного состояния

$$\frac{1}{4}(\sigma_x - \sigma_y)^2 + \tau_{xy}^2 = k^2$$

Такую систему уравнений удобно изучать при помощи перехода к новым переменным σ и φ , связанным с компонентами напряжения σ_x , σ_y и τ_{xy} следующим образом:

$$\left. \begin{aligned} \sigma_x \\ \sigma_y \end{aligned} \right\} = \sigma \pm k \cos 2\varphi, \quad \tau_{xy} = k \sin 2\varphi \quad (3.1)$$

Подставляя в уравнения равновесия (1.1) выражения (3.1), найдем

$$\frac{\partial \sigma}{\partial x} - 2k \left[\sin 2\varphi \frac{\partial \varphi}{\partial x} - \cos 2\varphi \frac{\partial \varphi}{\partial y} \right] = 0, \quad \frac{\partial \sigma}{\partial y} + 2k \left[\cos 2\varphi \frac{\partial \varphi}{\partial x} + \sin 2\varphi \frac{\partial \varphi}{\partial y} \right] = \gamma$$

Эта система также принадлежит к гиперболическому типу, а ее характеристики даются такими уравнениями:

$$dy = dx \operatorname{tg} \left(\varphi \mp \frac{\pi}{4} \right), \quad \frac{\sigma - \gamma y}{2k} \mp \varphi = \text{const} \quad (3.2)$$

Характеристики на плоскости координат x и y составляют теперь два ортогональных семейства. Они наклонены к оси x под углами $\varphi \mp \pi/4$ и опять-таки совпадают с линиями скольжения.

Займемся нахождением контактных напряжений на контуре стенки, считая, что вдоль горизонтальной границы задано равномерно распределенное нормальное давление $\sigma_y = p$.

В областях A_1O_1Ox и xOA образуются простейшие поля напряжений, даваемые величинами

$$\sigma = \gamma y + q - k, \quad \varphi = \frac{\pi}{2} \quad (q = p + \gamma h) \quad (3.3)$$

или компонентами напряжения

$$\sigma_x = \gamma y + q - 2k, \quad \sigma_y = \gamma y + q, \quad \tau_{xy} = 0$$

и сеткой характеристик в виде двух ортогональных семейств параллельных прямых

$$y = \pm x + \text{const}$$

Остановимся теперь на граничных условиях вдоль кривых OA и OB . Компоненты напряжения могут быть представлены по формулам

$$\begin{cases} \sigma_t \\ \sigma_n \end{cases} = \sigma \pm k \cos 2\psi, \quad \tau_{tn} = k \sin 2\psi \quad (3.4)$$

где ψ имеет обычный смысл, так что $\varphi - \psi$ есть угол между осями x и t .

Условимся попрежнему через α и β обозначать углы между осью x и касательными к кривым OA и OB , а через α_0 и β_0 — их значения в точке O .

Заметим, что вдоль некоторой дуги O_1O контура стенки вследствие (3.3) и (3.4) при $\psi = \pi/2 - \beta$ имеют место

$$\sigma_n = \gamma y + q - k(1 - \cos 2\beta), \quad \tau_{tn} = k \sin 2\beta$$

Будем иметь в виду, что вдоль кривой OA компоненты напряжения σ_n и τ_{tn} непрерывны, а компонента σ_t имеет конечный разрыв. Поэтому из уравнений (3.3) и (3.4) при $\psi = \varphi - \alpha$ получим

$$\begin{aligned} \frac{\sigma}{k} - \cos 2(\varphi - \alpha) &= \frac{\gamma y + q}{k} - 1 + \cos 2\alpha \\ \sin 2(\varphi - \alpha) &= \sin 2\alpha \end{aligned}$$

Отсюда после простых преобразований можно найти

$$\frac{dy}{d\alpha} = \operatorname{tg} \alpha, \quad \varphi = 2\alpha, \quad \sigma = \gamma y + q + k(2 \cos 2\alpha - 1) \quad (3.5)$$

Будем считать, что вдоль кривой OB , которая является контуром стенки, компонента напряжения

$$\tau_{tn} = t \quad (0 \leq t \leq k)$$

Поэтому вследствие уравнений (3.3) при $\psi = \varphi - \beta$ должно быть

$$\sin 2(\varphi - \beta) = \frac{t}{k}, \quad 0 \leqslant 2(\varphi - \beta) \leqslant \frac{\pi}{2} \quad (3.6)$$

Точку O следует выбрать так, чтобы компоненты σ_n и τ_{tn} были непрерывны. Легко показать, что кривая разрыва OA и контур стенки OB имеют общую касательную, наклоненную к оси x под углом $\alpha_0 = \beta_0$, причем

$$\sin 2\alpha_0 = \frac{t}{k}, \quad 0 \leqslant 2\alpha_0 \leqslant \frac{\pi}{2}$$

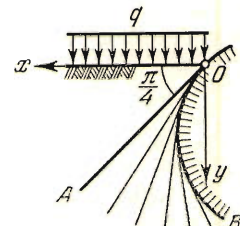
В области AOB поле напряжений уже не будет простейшим и должно быть найдено путем численного решения уравнений характеристик (3.2) по граничным условиям (3.5) и (3.6) вдоль кривых OA и OB .

Значение $\sigma = \sigma_0$ в точке O может быть выражено через q . В самом деле, приравнивая величины σ , взятые при $y = 0$, по формулам (3.5) и (3.6), найдем

$$\sigma_0 = q + k(2 \cos 2\alpha_0 - 1)$$

Особенно простое решение имеет место в частном случае $t = k$, когда

$$\alpha_0 = \beta_0 = \frac{\pi}{4}, \quad \sigma_t^+ = \sigma_t^-$$



Фиг. 7

а кривая разрыва становится прямой характеристикой OA (фиг. 7). При этом функции σ и φ в области AOB при помощи обозначений $x(s) = x_1(\beta)$, $y(s) = y_1(\beta)$, $\bar{\varphi} = \varphi - \pi/4$ могут быть представлены в виде

$$\sigma = \gamma y + q - k\left(1 - \frac{\pi}{2} + 2\bar{\varphi}\right)$$

$$y = y_1(\bar{\varphi}) + [x - x_1(\bar{\varphi})] \operatorname{tg} \bar{\varphi} \quad (3.7)$$

а компонента напряжения σ_n на контуре стенки дана так:

$$\sigma_n = \gamma y + q - k\left(1 - \frac{\pi}{2} + 2\beta\right) \quad (3.8)$$

Характеристиками — линиями скольжения — здесь служат касательные прямые к контуру стенки и ортогональные к ним кривые.

Остановимся, наконец, на частном случае $t = 0$, когда $\alpha_0 = \beta_0 = 0$ и $q = p$, а контур стенки имеет в точке O горизонтальную касательную, и приведем приближенное решение вблизи этой точки O .

Кривая OA вместо (2.9) определяется теперь следующим образом:

$$y = \frac{x^2}{4R_0} \quad \text{или} \quad n = \frac{s^2}{4R_0} \quad (3.9)$$

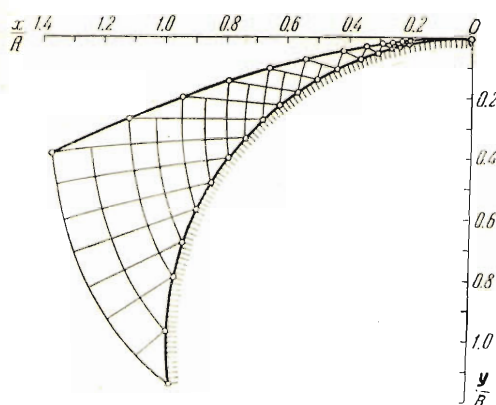
а компонента напряжения σ_n на контуре стенки вместо (2.10) будет

$$\sigma_n = p + \left[\gamma - \frac{3k}{R_0}\right] \frac{s^2}{2R_0} \quad (3.10)$$

Функции σ и φ даются приближенными формулами

$$\sigma = \gamma y + p + k - \frac{2k}{R_0} \left[y + \frac{x^2}{4R_0} \right], \quad \varphi = \frac{x}{R_0}$$

которые справедливы около точки O .



Фиг. 8

Все приведенные выше формулы могут быть получены непосредственно из соответствующих формул § 2 заменой σ на $\sigma + H$, H на $k \operatorname{ctg} \rho$ и предельного перехода $\rho \rightarrow 0$ и $\delta \rightarrow 0$.

В качестве примера рассмотрена круговая стенка радиуса R для $\delta = 0$ и $k = \gamma R$.

Около точки O использованы предыдущие приближенные формулы, а вдали от нее — обычные методы численного интегрирования уравнений (3.2).

Получены безразмерные координаты x/R и y/R кривой OA :

$$\begin{aligned} x/R &= 0.00 \quad 0.20 \quad 0.29 \quad 0.42 \quad 0.54 \quad 0.66 \quad 0.79 \quad 0.94 \quad 1.12 \quad 1.37 \\ y/R &= 0.00 \quad 0.01 \quad 0.02 \quad 0.04 \quad 0.07 \quad 0.10 \quad 0.14 \quad 0.20 \quad 0.27 \quad 0.38 \end{aligned}$$

и значения безразмерной величины

$$N = \frac{\sigma_n - p}{\gamma R}$$

для значений безразмерной длины s/R кривой OB :

$$\begin{array}{cccccccccc} s/R &= 0.00 & 0.21 & 0.31 & 0.46 & 0.53 & 0.61 & 0.68 & 0.75 \\ - N &= 0.00 & 0.04 & 0.09 & 0.18 & 0.24 & 0.30 & 0.36 & 0.41 \\ s/R &= 0.84 & 0.92 & 1.02 & 1.12 & 1.24 & 1.35 & 1.57 & 1.71 \\ - N &= 0.49 & 0.56 & 0.65 & 0.73 & 0.83 & 0.93 & 1.09 & 1.25 \end{array}$$

а также построена сетка характеристик — линии скольжения (фиг. 8).

Сопоставление результатов вычислений в примерах § 1 и 3 дает представление о влиянии внутреннего трения на величины контактных напряжений вдоль контура стеки.

Поступила 21 VI 1956

Институт механики
Академии наук СССР

ЛИТЕРАТУРА

- Соколовский В. В. Статика сыпучей среды. Изд. первое. Изд. АН СССР, 1942. Изд. второе. Гостехиздат, 1954.
- Соколовский В. В. О формах устойчивых полусводов и сводов. ПММ, т. XX, вып. 1, 1956.
- Кагман Т. Ueber elastische Grenzzustände. Verhandlungen des zweiten Internationalen Kongress für technische Mechanik, Zürich, 1927.